

УДК 539.3

**ВЕРОЯТНОСТНО-СТАТИСТИЧЕСКАЯ МОДЕЛЬ  
ФОРМИРОВАНИЯ АНСАМБЛЕЙ КЛИНОВИДНЫХ  
ДВОЙНИКОВ У ОТПЕЧАТКА ИНДЕНТОРА  
ПРИ ЛОКАЛЬНОМ ДОЗИРОВАННОМ  
ДЕФОРМИРОВАНИИ ПОВЕРХНОСТИ  
ДВОЙНИКУЮЩЕГОСЯ МОНОКРИСТАЛЛА****О. М. ОСТРИКОВ***Учреждение образования «Гомельский государственный  
технический университет имени П. О. Сухого»,  
Республика Беларусь***Введение**

Предложенный в работах [1]–[3] метод исследования механического двойникования, связанный с локальным дозированным деформированием поверхности, оказался весьма эффективным и нашел широкое применение не только в изучении механизмов двойникования [4]–[7], но и негетерогенной пластической деформации аморфных материалов [8]–[10], а также выкрашивания деформируемого материала [11], [12].

Формирование ансамбля клиновидных двойников (или полос сдвига в случае металлического стекла [8]–[10]) у отпечатка индентора носит случайный характер. Это связано с тем, что в области деформирования невозможно точно определить расположение источников двойникоующих дислокаций в кристаллических или полос сдвига в аморфных материалах. Поэтому для моделирования деформационной картины, образованной вдавливанием индентора и связанной с двойникованием или негетерогенной пластичностью, целесообразно использовать методы теории вероятности и математической статистики [13]–[15].

Локальное деформирование поверхности как метод имеет важное практическое значение, так как поверхность материалов в процессе их эксплуатации подвержена локальным деформационным воздействиям, результат которых может сказаться на долговечности и надежности изделия.

В данной работе ограничимся рассмотрением только ситуации, связанной с двойникованием. Полученные результаты могут быть распространены и на негетерогенную пластичность аморфных материалов, подверженных локальному деформированию сосредоточенной нагрузкой, и на случай возникновения у отпечатка индентора трещин и т. д.

Целью работы стала разработка на основе методов теории вероятности и математической статистики такой модели, которая позволяла бы прогнозировать конфигурацию ансамбля клиновидных двойников, возникающих у отпечатка индентора различной формы.

**Основная часть**

Типичная картина, возникающая, например, на деформируемой алмазной пирамидой Виккерса поверхности скола (111) монокристалла висмута, представлена в работах [5]–[7]. У отпечатка индентора возникает 6–8 двойников клиновидной формы, средняя длина которых порядка 100 мкм (рис. 1).

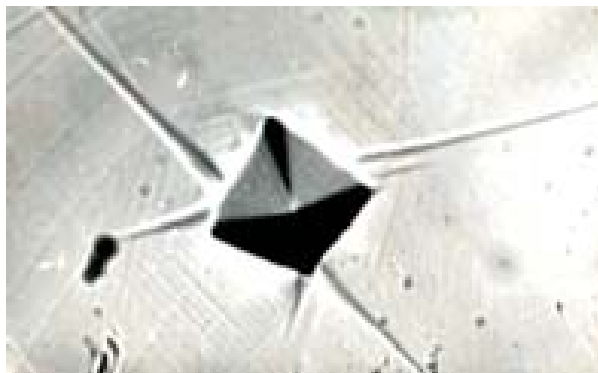


Рис. 1. Типичная деформационная картина, возникающая у отпечатка пирамиды Виккерса на поверхности (111) монокристалла висмута ( $\times 500$ )

Висмут является модельным материалом для изучения двойникования при индентировании. Поэтому полученные результаты можно обобщить и на другие двойникообразующие твердые тела, у которых у отпечатка индентора возникает картина, представленная на рис. 1. Таким образом, разрабатываемый в данной работе математический аппарат для описания двойникования при локальном деформировании монокристаллов висмута может быть обобщен и на другие материалы. Это дает возможность в дальнейшем не конкретизировать, о каком материале идет речь.

Количество двойников ( $N$ ), возникающих у концентратора напряжений, является случайной величиной. Распределение этой величины в зависимости от условий эксперимента может быть хорошо описано как распределением Пуассона, так и распределением Стьюдента [7].

В случае распределения величины  $N$  по закону Пуассона вероятность того, что у отпечатка индентора возникнет  $N$  двойников, определяется по следующей формуле [13], [14]:

$$P_N = \frac{a^N}{N!} e^{-a}, \quad (1)$$

где  $a$  – параметр закона Пуассона ( $a > 0$ ) [13].

Использование закона Пуассона для расчета вероятности возникновения у концентратора напряжений  $N$  двойников удобно в связи с тем, что величина  $N$  дискретная и принимает только неотрицательные целые значения, что является основным условием применимости закона Пуассона [13].

Другим требованием применимости закона Пуассона является необходимость выполнения равенства математического ожидания ( $m_N$ ) и дисперсии ( $D_N$ ) величины  $N$  [14], причем

$$m_N = D_N = a. \quad (2)$$

Условие (2) не всегда выполняется на эксперименте. Поэтому целесообразно использование распределения Стьюдента, которое с помощью гамма-функции ( $\Gamma$ ) представляется в виде [16]:

$$f(t) = \frac{\Gamma((n+1)/2)}{\Gamma(n/2)\sqrt{\pi n}} (1+t^2)^{-(n+1)/2}, \quad (3)$$

где в нашем случае  $n$  – число отпечатков индентора, у которых ведется подсчет количества образовавшихся двойников;  $t = (\bar{N} - N)/S_n$  (здесь  $\bar{N}$  – среднее число двойников, возникающих у отпечатков индентора;  $S_n^2 = \frac{1}{n(n-1)} \sum_{i=1}^n (N_i - \bar{N})^2 \approx D_N^2$ ).

Согласно [16], при  $n \geq 30$  распределение (3) переходит в нормальное распределение, плотность которого применительно к рассматриваемой задаче можно представить в следующем виде [13]:

$$f(N) = \frac{1}{D_N \sqrt{2\pi}} e^{-\frac{(N-m_N)^2}{2D_N^2}}. \quad (4)$$

Длина ( $L$ ) клиновидных двойников, возникающих у отпечатка индентора, в отличие от их количества  $N$  принимает не только целые значения. Поэтому использование закона Пуассона применительно к  $L$  неправомерно. Нецелесообразно и применение соотношения типа (1) к  $L$  из-за малой вероятности выполнения на практике условия типа (2). В экспериментах для  $L$  математическое ожидание ( $m_L$ ) и дисперсия ( $D_L$ ), как правило, не равны друг другу, т. е.  $m_L \neq D_L$ . Поэтому можно считать, что при малых  $n$  величина  $L$  подчиняется распределению Стьюдента, а при больших  $n$  – закону нормального распределения:

$$f(L) = \frac{1}{D_L \sqrt{2\pi}} e^{-\frac{(L-m_L)^2}{2D_L^2}}. \quad (5)$$

Для  $N$  и  $L$  также справедлива следующая формула:

$$f(N, L) = \frac{1}{2\pi\sigma_N\sigma_L\sqrt{1-r^2}} e^{-\frac{1}{2(1-r^2)} \left[ \frac{(N-m_N)^2}{\sigma_N^2} - \frac{2r(N-m_N)(L-m_L)}{\sigma_N\sigma_L} + \frac{(L-m_L)^2}{\sigma_L^2} \right]}, \quad (6)$$

где  $\sigma_N$ ,  $\sigma_L$  – среднеквадратичные отклонения величин  $N$  и  $L$ , соответственно;  $r$  – коэффициент корреляции величин  $N$  и  $L$ .

При  $r \neq 0$  случайные величины  $N$  и  $L$  зависимы [13]. В случае, когда  $r = 0$  (т. е.  $N$  и  $L$  независимы) формула (6) примет следующий вид:

$$f(N, L) = \frac{1}{2\pi\sigma_N\sigma_L} e^{-\frac{1}{2} \left[ \frac{(N-m_N)^2}{\sigma_N^2} + \frac{(L-m_L)^2}{\sigma_L^2} \right]}. \quad (7)$$

Выражения (6) и (7) нормального закона достаточны для описания вероятностных процессов зарождения у концентратора напряжений полос сдвига и трещин [10], имеющих близкую к нулю ширину. В случае двойникования более полное математическое описание требует учета и ширины ( $H$ ) двойника у устья [7]. Это приводит к необходимости использования трехмерного распределения типа

$$f(N, L, H) = \frac{1}{(2\pi)^{3/2} \sigma_N \sigma_L \sigma_H} e^{-\frac{1}{2} \left[ \frac{N^2}{\sigma_N^2} + \frac{L^2}{\sigma_L^2} + \frac{H^2}{\sigma_H^2} \right]}. \quad (8)$$

Здесь  $\sigma_H$  – среднеквадратичное отклонение величины  $H$ .

Тогда вероятность появления у деформирующей поверхность индентора  $N$  клиновидных двойников с геометрическими параметрами  $L$  и  $H$ , образующими область значений  $D$ , может быть определена с помощью тройного интеграла:

$$P((N, L, H) \subset D) = \iiint_{(D)} f(N, L, H) dN dL dH. \quad (9)$$

Как показали экспериментальные данные, распределение двойников по длинам не всегда имеет один максимум [6], [7], [17]–[19]. В зависимости от условий локального деформирования в общем случае таких максимумов может быть  $K$  штук. На количество максимумов оказывает влияние анизотропия деформируемых кристаллов, форма индентора, пропускание в момент деформирования электрического тока и др. Вид функции распределения двойников по длинам схематически можно представить так, как это показано на рис. 2. В случае отсутствия равенства математического ожидания и дисперсии такую функцию можно описать суперпозицией нормальных распределений длин двойников  $K$  групп. На рис. 2 каждое такое нормальное распределение схематически показано пунктирной линией.

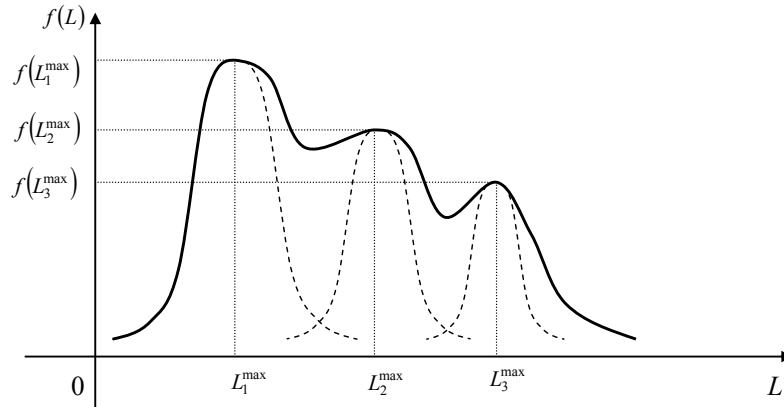


Рис. 2. Схематическое изображение типичного распределения двойников по длинам

Предполагается, что в каждой группе находятся двойники, вклад в увеличение или уменьшение длины которых внес какой-либо один из ранее перечисленных факторов. Тогда распределение двойников по длинам при невыполнении условия (2) можно записать в следующем виде:

$$f(L) = \frac{1}{\sqrt{2\pi}} \sum_{j=1}^K \frac{e^{-\frac{(L_j - m_{L_j})^2}{2D_{L_j}^2}}}{D_{L_j}}, \quad (10)$$

где  $L_j$  — длины двойников  $j$ -й группы;  $m_{L_j}$  и  $D_{L_j}$  — математическое ожидание и дисперсия величины  $L_j$ ;  $L = \sum_{j=1}^K L_j$ .

Функция (10) полностью описывает сложное распределение двойников по длинам, схематически показанное на рис. 2.

В плане создания математической основы для компьютерного моделирования процесса двойникования при локальном дозированном деформировании поверхности двойникующегося материала интересна задача по определению точки на контуре отпечатка индентора, в которой будет находиться середина основания двойника. На рис. 3, а схематически показан отпечаток пирамиды Виккерса на поверхности деформируемого монокристалла и система возникающих у него клиновидных двойников. Для удобства целесообразно использование развертки контура отпечатка индентора, которая показана на рис. 3, б в виде отрезка, разбитого на участки, соответствующие длине стороны отпечатка. Направим вдоль этого отрезка ось  $x$  и исключим ситуацию, когда двойники образуются вдали от отпечатка индентора [7], [20], так как в случае, например, деформирования поверхности (111) монокристалла висмута вдали от отпечатка ин-

дентора двойники образуются крайне редко. Зададим плотность вероятности образования двойника в той или иной точке контура отпечатка индентора  $f(x)$ . Тогда при более частом появлении двойников у вершин четырехугольника функция плотности вероятности  $f(x)$  в первом приближении будет иметь вид, представленный на рис. 3, б сплошной линией. При более частом появлении двойников у середины отрезка стороны отпечатка пирамиды вид функции  $f(x)$  представлен рис. 3, б пунктирной линией. В этих случаях функцию плотности вероятности появления двойника в точке, принадлежащей  $i$ -й стороне отпечатка, в первом приближении целесообразно принимать параболической. Пусть данная функция имеет вид:

$$f_i(x) = a_i x^2 + b_i x + c_i, \tag{11}$$

где  $a_i, b_i, c_i$  – феноменологические коэффициенты.

В рассматриваемой задаче (рис. 3) функция (11) примет следующий вид:

$$f_i(x) = \begin{cases} a_{AB}x^2 + b_{AB}x + c_{AB} & \text{при } A < x < B \\ a_{BC}x^2 + b_{BC}x + c_{BC} & \text{при } B < x < C \\ a_{CD}x^2 + b_{CD}x + c_{CD} & \text{при } C < x < D \\ a_{DA}x^2 + b_{DA}x + c_{DA} & \text{при } D < x < A. \end{cases} \tag{12}$$

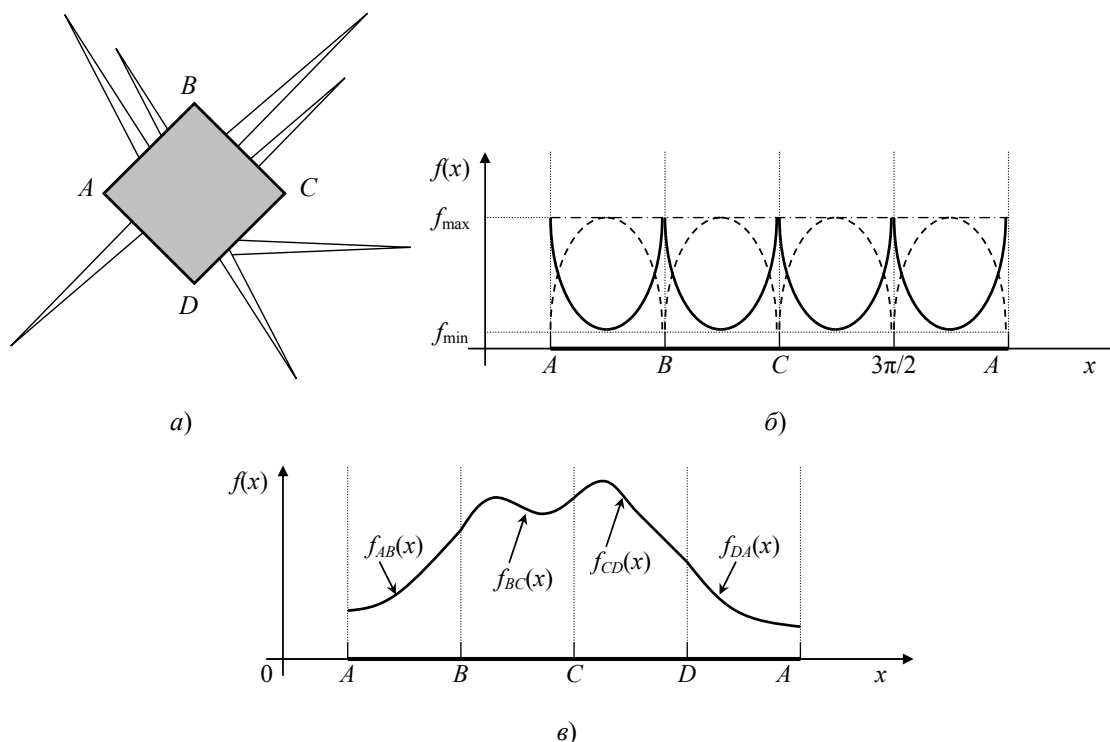


Рис. 3. Схема для модели, позволяющей прогнозировать место зарождения двойников или полос сдвига у отпечатка пирамиды Виккерса: а – отпечаток пирамиды Виккерса и ансамбль клиновидных двойников вокруг него; б – плотность вероятности зарождения двойников на развертке контура отпечатка индентора в случае более частого появления двойников у вершин отпечатка (сплошная линия) и у средней его части (пунктирная линия); в – плотность вероятности зарождения двойников на развертке контура отпечатка индентора в общем случае

Функция  $f_i(x)$  экстремальна. На оси  $x$  положение  $i$ -го экстремума находится по формуле [13]:

$$(x_0)_i = -\frac{b_i}{2a_i}. \quad (13)$$

В случае, когда более часто двойники возникают у вершин отпечатка пирамиды Виккерса, функция  $f_i(x)$  в экстремальных точках принимает значения [14]:

$$f_i((x_0)_i) = f_{\min} = \frac{4a_i c_i - b_i^2}{4a_i}. \quad (14)$$

Аналогичные соотношения можно использовать и в случае более вероятного появления двойников у середины стороны отпечатка индентора, но в данном случае в этой части отпечатка будут наблюдаться максимальные значения функций  $f_i(x)$ .

В общем случае функция  $f(x)$  имеет произвольный вид (рис. 3, в). Однако и в этом случае ее удобно разбить на части  $f_{AB}(x)$ ,  $f_{BC}(x)$ ,  $f_{CD}(x)$  и  $f_{DA}(x)$ , соответствующие четырем сторонам отпечатка пирамиды Виккерса.

На рис. 4, а схематически представлен отпечаток сферического (аналогично для конического) индентора с системой клиновидных двойников вокруг него. В данном случае также удобно разбить контур отпечатка индентора на участки. Пусть определяющими точками такого разбиения будут квадранты окружности. На рис. 4, б вдоль оси  $x$  расположена развертка контура отпечатка длиной  $l$ , поделенная на четыре отрезка, концы которых соответствуют расположению точек квадранта окружности.

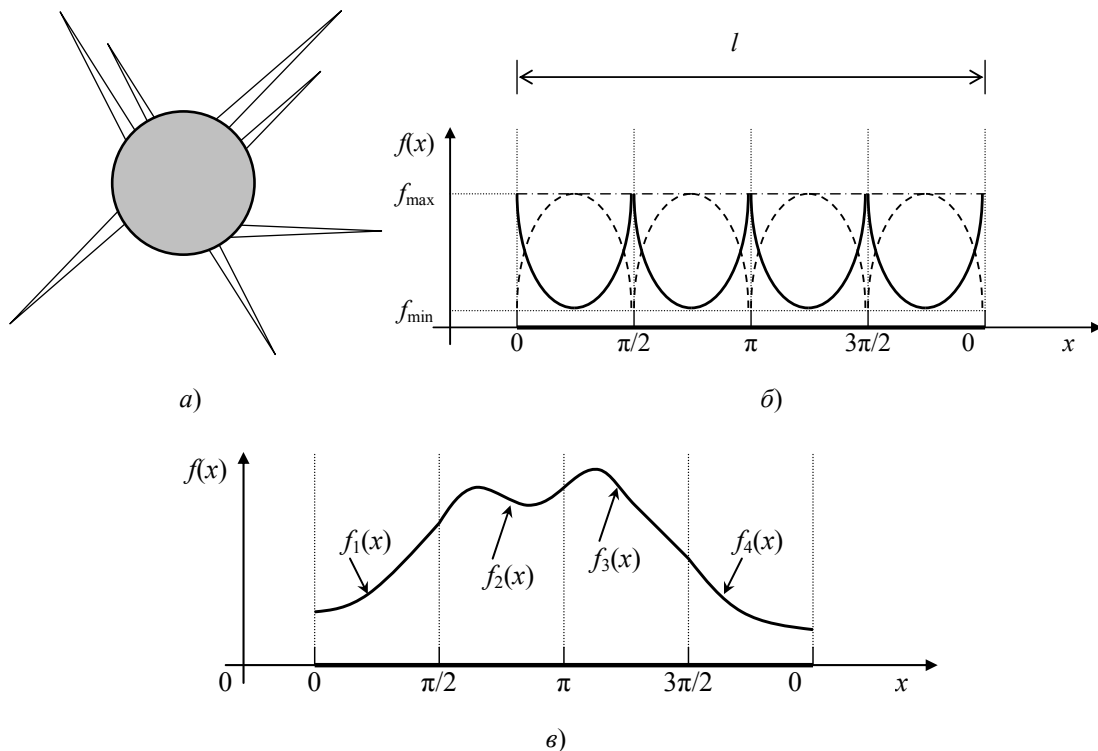


Рис. 4. Схема для модели, позволяющей прогнозировать место зарождения двойников или полос сдвига у отпечатка сферического (или конического) индентора: а – отпечаток индентора и ансамбль клиновидных двойников вокруг него; б – плотность вероятности зарождения двойников на развертке контура отпечатка индентора в случае более частого появления двойников у квадрантных точек (сплошная линия) и у средней части отрезка, ограниченного квадрантными точками (пунктирная линия); в – плотность вероятности зарождения двойников на развертке контура отпечатка сферического (или конического) индентора в общем случае

Ввиду анизотропии деформируемого монокристалла вероятность появления двойников в различных областях контура отпечатка разная. Как и в предыдущем случае (рис. 3, б), в первом приближении для функции  $f(x)$  может быть использована квадратичная зависимость, как это схематически показано на рис. 4, б. В общем случае функция  $f(x)$  произвольна и может быть представлена суперпозицией функций  $f_1(x)$ ,  $f_2(x)$ ,  $f_3(x)$  и  $f_4(x)$  (рис. 4, в).

### Заключение

Таким образом, разработана вероятностно-статистическая модель двойникового монокристаллов при индентировании их поверхности. Модель пригодна для разработки программ для компьютерного моделирования остаточной двойниковой картины, возникающей у отпечатка индентора двойникующихся монокристаллов. Показано, что для математического описания распределения двойников по длинам, при наличии нескольких максимумов у этого распределения, необходимо использование суперпозиции нормальных распределений, число которых равно числу максимумов. Модель может быть использована и для случая негетерогенной пластической деформации аморфных материалов. Разработан метод прогнозирования области зарождения двойников или полос сдвига у отпечатка индентора.

### Литература

1. Yoo, M. H. Twinning in zinc by indentation / M. H. Yoo, C. T. Wei // J. Appl. Phys. – 1967. – Vol. 38, № 7. – P. 2974–2976.
2. Бойко, В. С. Динамика развития двойника под сосредоточенной нагрузкой / В. С. Бойко, Р. И. Гарбер, В. Ф. Кившик // Физика твердого тела. – 1975. – Т. 17, № 2. – С. 3655–3657.
3. Lubenets, S. V. Dynamics of twinning in metals and alloys / S. V. Lubenets, V. I. Startsev, L. S. Fomenko // Phys. Stat. Sol. (a). – 1985. – Vol. 92, № 11. – P. 12–55.
4. Влияние импульсов электрического тока на двойникование монокристаллов висмута, облученных ионами углерода / В. С. Савенко [и др.] // Физика металлов и металловедение. – 1998. – Т. 85, № 5. – С. 96–105.
5. Двойникование монокристаллов висмута, облученных ионами бора / В. С. Савенко [и др.] // Письма в журн. техн. физики. – 1998. – Т. 24, № 8. – С. 1–9.
6. Савенко, В. С. Применение статистического метода для изучения кинетики образования клиновидных двойников в кристаллах висмута при наложении на них электрических и магнитных полей / В. С. Савенко // Изв. НАН Беларуси. Сер. физ.-мат. наук. – 1998. – № 2. – С. 96–98.
7. Остриков, О. М. Механика двойникового твердых тел : монография / О. М. Остриков. – Гомель : ГГТУ им. П. О. Сухого, 2008. – 301 с.
8. Особенности пластической деформации при индентировании пирамидой Виккерса поверхности аморфного сплава Fe-Cr-Mo-V-B-Si / М. Н. Верещагин [и др.] // Физика металлов и металловедение. – 2002. – Т. 93, № 5. – С. 101–104.
9. Исследование методом локального деформирования особенностей пластической деформации аморфного сплава Fe-Cr-Mo-V-B-Si / М. Н. Верещагин [и др.] // Кристаллография. – 2002. – Т. 47, № 4. – С. 691–696.
10. Верещагин, М. Н. Негетерогенная пластическая деформация аморфных сплавов на основе железа : монография / М. Н. Верещагин, В. Г. Шепелевич, О. М. Остриков. – Гомель : ГГТУ им. П. О. Сухого, 2004. – 134 с.

11. Способ определения интенсивности выкрашивания материалов : пат. № а 20030020ВУ, МПК7 G 01 N 3/08. / М. Н. Верещагин [и др.]. – заявл. 10.01.03 ; опубл. 30.09.04. Афіцыйны бюл. / Дзярж. пат. ведамства Рэсп. Беларусь. – 2004. – № 3. – С. 61.
12. Остриков, О. М. Использование полипараксилиленовых тонких пленок при исследовании пластической деформации монокристаллов висмута / О. М. Остриков // Приклад. механика и техн. физика. – 2006. – Т. 47, № 4. – С. 162–166.
13. Вентцель, Е. С. Теория вероятностей / Е. С. Вентцель. – М. : Академия, 2003. – 576 с.
14. Корн, Г. Справочник по математике / Г. Корн, Т. Корн. – М. : Наука, 1974. – 832 с.
15. Боржковская, В. М. Исследование структуры линий скольжения в монокристаллах LiF при послойной полировке и травлении с применением статистических методов обработки экспериментальных данных / В. М. Боржковская, А. И. Ландау, М. А. Давыдов // Кристаллография. – 1968. – Т. 13, № 4. – С. 655–661.
16. Физический практикум / под ред. Г. С. Кембровского. – Минск : Университетское, 1986. – 352 с.
17. Применение статистического метода к изучению электростимулированного двойникования кристаллов висмута / В. С. Савенко [и др.] // Действие электромагнитных полей на пластичность и прочность материалов : тез. докл. конф. – Воронеж : ВГТУ, 1996. – С. 21.
18. Остриков, О. М. Кинетика образования клиновидных двойников в кристаллах висмута, облученных нерастворимыми в матрице мишени ионами / О. М. Остриков // Физика металлов и металловедение. – 1999. – Т. 87, № 5. – С. 78–82.
19. Остриков, О. М. Двойникование ионно-имплантированных монокристаллов висмута : автореф. дис. ... канд. физ.-мат. наук / О. М. Остриков. – Минск : БГУ, 1999. – 17 с.
20. Остриков, О. М. Некоторые особенности формы клиновидных двойников в монокристаллах висмута, деформированных сосредоточенной нагрузкой / О. М. Остриков // Физика металлов и металловедение. – 2000. – Т. 90, № 1. – С. 91–95.

*Получено 03.04.2013 г.*